

حساب مستويات الطاقة لشبہ الموصل GaAs المطعم بالفاناديوم V^{2+} باستخدام النموذج النظري ذي المطاوعة متعامدة المحاور

د. عدنان محمد الشيخ ابتسام يحيى عبدالله

جامعة الموصل/كلية العلوم/قسم الفيزياء

تاریخ القبول
2005/6/6

تاریخ الاستلام
2005/4/5

ABSTRACT

To evaluate the energy level for Vanadium ion in GaAs:V^{2+} the ground term has been determined (4F). Using the concepts of isomorphism on orbital states for the ground term of GaAs:V^{2+} where the states are described by fictitious orbits of $L' = 0, T = \frac{1}{2}$ & $L' = 1$, the matrix elements for spin Hamiltonian and effective Hamiltonian are calculated and comparing $|J, M_J\rangle$ and $|M_1, M_s\rangle$ for $J = \frac{5}{2}, L' = 1$ & $S = \frac{3}{2}$. Our results shows that V^{2+} displacement affected by e and t_2 vibrational modes with $T \otimes e$ and $T \otimes t_2$ Jahn Teller effect rather than $T \otimes (t_2 + e)$ Jahn Teller effect.

الملخص

لغرض حساب مستويات الطاقة لأيون الفاناديوم في GaAs:V^{2+} . حددت الحالة الدرکیة بأنها 4F . ثم احتسبت عناصر مصفوفة مؤثر طاقة البرم وعناصر مصفوفة مؤثر الطاقة الفعال وعقدت مقارنة بين حالات $|J, M_J\rangle, |M_1, M_s\rangle$ عندما $J = \frac{5}{2}, L' = 1$ & $S = \frac{3}{2}$ معتمدين بذلك مفهوم التشاکل لاوربیتالات الحالة الدرکیة لایون V^{2+} . إذ أن الحالات الاوربیتالیة توصف بالاوربیتالات المفترضة $L' = 0, T = \frac{1}{2}$ & $L' = 1$. أظهرت حساباتنا أن إزاحة الايون V^{2+} تتأثر بالنطرين الاهتزازيين t_2 & e لتكون تأثيرات جان - تيلر من نوع $T \otimes (t_2 + e)$ وليس فقط من نوع $T \otimes t_2$ & $T \otimes e$.

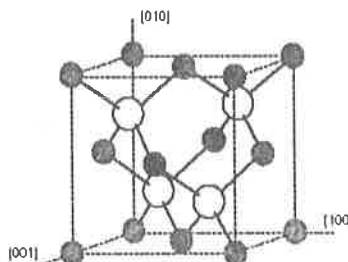
1. المقدمة Introduction

تشكل عناصر الزمرة III-V مركبات شبه موصلة ذات توصيلية أقل مما للجرمانيوم والسلikon وتمتاز هذه المركبات بأن لها فجوات طاقة أكبر مما للجرمانيوم والسلikon (Adachi , 1992)

$\text{GaAs } 1.52\text{eV}$, $\text{GaP } 2.32\text{eV}$, $\text{InP } 1.42\text{eV}$

لذا تمتاز هذه المركبات بأستقرارية حرارية أكبر من الجرمانيوم والسلikon .

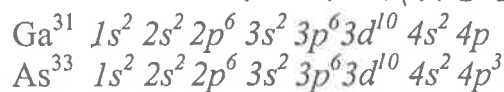
ت تكون بلورة GaAs من شبكتين ثانويتين كل منها ذات نظام مكعب متراكز الأوجه وتنواعن مع بعضها عند منتصف قطر المكعب متراكز الأوجه , شكل (1) (Kayali, 2004)



شكل (1): وحدة الخلية المكعبة لبلورة GaAs

وطبقا لقوانين ميكانيك الكم، فإن الكترونات الذرات الطليقة يمكن لها أن تمتلك مستويات طاقة منفصلة، وعندما تجتمع هذه الذرات الطليقة ضمن نظام بلوري، فإن طاقات الالكترونات لا تعد محصورة بمستوى طاقة منفرد إنما تجتمع ضمن حزم طاقات تعرف بحزم التكافؤ وحزم التوصيل التي تفصل بينهما فجوة طاقة والتي تعد من الخصائص المهمة للمواد شبه الموصلة.

إن الترتيب الإلكتروني لمركب GaAs يمكن أن يفهم بالصيغة الآتية:



يحصل الكالسيوم على إلكترون من الزرنيخ ويعيد ترتيب الغلاف الخارجي بالصيغة:
GaAs $4s \quad 4p^3$

من هذا نلاحظ أن الغلاف الخارجي لهذا المركب أخذ صيغة مرادفة للمواد شبه الموصلة مثل الجرمانيوم أو السليكون .

Theory .2 النظرية

عام 1984 وجد (Kutt et al., 1984) ان من السهل تطعيم GaAs بالفاناديوم ، وإن لهذا التطعيم له فائدة في إعطاء خصائص شبه عازل (Semi-insulating) إلى GaAs أن هذه النتائج الواحدة ظلت في ذلك الوقت تواجه حقيقة أن دور سلوكيات الفاناديوم في GaAs غير واضحة ولم تستكمل دراستها . وقد طرحت نماذج نظرية للفاناديوم في مركبات (Chen ، Badran ، Katayama and Zunerg , 1986 ، 1997) عرض فيه (AL-Sheikh, 2005 and Du , 2002) صيغة لمؤثر البرم ومؤثر الطاقة الفعال مراعياً فيه وجود تأثيرات الحالات الاهتزازية (Vibrational states) للإلكترونات (Electronic states) لايون العنصر الانتقالى بما يجعل الحالات تتحور الى حالات الكترو-اهتزازية (Vibronic states) استناداً إلى تأثيرات جان - تيلر (Jahn-Teller effects) ولتكون صيغة مؤثر البرم ومؤثر الطاقة الفعال كما يأتي (AL-Sheikh, 2005) :

$$\hat{\mathcal{H}}_{\text{spin}} = D\{3S_z'^2 - S'(S'+1) \pm E(S_x'S_y' + S_y'S_x') + A\{S_x'^4 + S_y'^4 + S_z'^4 - \frac{1}{5}S'(S'+1)(3S'^2 + 3S'-1)\} + g\beta B.S' \} \quad \dots(1)$$

$$\hat{\mathcal{H}}_{\text{eff}} = aL'.S + \lambda b(L'.S)^2 + \lambda c(E_\theta E_\theta^S + E_\epsilon E_\epsilon^S) + \alpha l_z'^2 \pm \beta(l_x'l_y' + l_y'l_x') + g\beta B.S \quad \dots(2)$$

ونقوم في هذا البحث بحساب عناصر مصفوفة هذه المؤثرات ، وثم احتساب القيم الذاتية لهذه المؤثرات ومستويات الطاقة لهذا النموذج .

إن رمز الحالة المستقرة للفاناديوم V^{2+} ($3d^3$) هو 4F (Web Sit (Howald , 2001) (2004 ، التي يمكن حسابها تفصيلاً لذرة تحتوي على عدد من الالكترونات المتكافئة (لها نفس العددان الكمياني n و l)، بعد الأخذ بنظر الاعتبار مبدأ باولي للاستبعاد (Pauli principle) يمكن استعمال طريقة تعتمد على معرفة قيم m_s & m_l لكل Russell – Saunders (Russell – Saunders) إلكترون على وفق منهج

$$M_L = \sum_i (m_l)_i ; \quad M_L = L, L-1, \dots, -L \quad \dots(3)$$

$$M_S = \sum_i (m_s)_i ; \quad M_S = S, S-1, \dots, -S \quad \dots(4)$$

يعبر عن مضاعف البرم (spin multiplicity) بأنه V^{2+} ، $r = 2S+1$

الغلاف الثانوي هو $(3d^3)$ ، لما كان $l=2$ لكل إلكترون فإن

$$L = \sum_i l_i = 6 \quad \therefore M_L = 6, 5, 4, 3, 2, 1, 0, -1, -2, -3, -4, -5, -6$$

$$S = \sum_i s_i = \frac{3}{2} \quad \therefore M_S = \frac{3}{2}, \frac{1}{2}, -\frac{1}{2}, -\frac{3}{2}$$

ويمكن حساب الاتحادات المسموح بها (حسب مبدأ باولي للاستبعاد) لقيم m_l & m_s التي تدعى بالحالات المجهرية "microstate" . وفق المعادلتين (3) ، (4) فإن عدد الحالات المجهرية في حالة d^3 هو 120 حالة حسبت على وفق العلاقة (Howald, 2001):

$$\frac{10!}{n!(10-n)!} \dots (5)$$

إذ أن n هو عدد الالكترونات في الاوربيتال d المملوء جزئياً.

يحدد رمز الحالة الدركية (L') استناداً إلى قواعد هوند (Hund's rules) التي تمكنا من تحديد أي من حالات الطاقة هي الحالة الأكثر استقراراً أو الحالة الدركية (ground term) . وتلخص قواعد هوند بما يأتي:

1- يمتلك رمز الحالة المستقرة دوماً أعلى مضاعف برم ، لذا فعند إدراج الحالات المجهرية لأيونات $3d^3$ نجد أن الرموز (4P & 4F) تملك أعلى مضاعف برم.

2- عند المقارنة بينهما مضاعف البرم نفسه ، تعد الحالة ذات القيمة الأعلى L' هي الحالة الأكثر استقراراً أو الاوطأ طاقة. لذا فإن 4F هي الحالة الأكثر استقراراً وتكون هي الحالة الدركية .

3- تعد القيمة الدنيا L' هي الأكثر استقراراً عند قيم معينة L, S, I , إذا ما كان الغلاف الثانوي أقل من نصف مشبع ، وتعد القيمة الأعلى L' هي الأكثر استقراراً إذا ما إذا كان الغلاف الثانوي أكثر من نصف مشبع .

إن الحالات الاوربيتالية لأيونات ("3d") في المجال البلوري المكعب، إما أن تكون مفردة ، او ثنائية أو ثلاثية . ولغرض التعامل مع هذه الحالات ، يعتمد التشاكل (Isomorphism) ، إذ غالباً ما يتم وصف كل حالة بالمؤثرات المفترضة $L' = 1, T = \frac{1}{2}, L' = 0$

إن كان هنالك تطابق بين عناصرهما. بمعنى آخر أن المجموعتين جدول الضرب نفسه. استخدمت فكرة التشاكل لأول مرة عام 1951 من قبل Abragam ، ثم استخدمها باحثون آخرون (Bates et al., 1971)، إذ أعطوا جدولآً بين الترافق بين الحالات الاوربيتالية الحقيقية والمفترضة لأيونات ("3d") باستعمال المحاور رباعية التمايل وثلاثية التمايل ($Y = 110, Z = 111$) بوصفها محاور مكعبة.

إن الأهمية التطبيقية للتشاكل تكمن في تقليل عدد المجموعات التي تلزم دراستها إلى أقل عدد ، في حين أن أهميتها النظرية تكمن في تأكيد أن نظرية المجموعات تعنى بتركيب جدول الضرب فقط (Hall, 1971).

3. الحسابات والنتائج Calculation and Results

حسبت عناصر مصفوفة مؤثر طاقة البرم (معادلة 1) والمدونة في الجدول (1) ، من خلال حساب عناصر مصفوفة مؤثر الطاقة الفعال باستخدام صيغة المؤثر المتماثل بالمعادلة (2) والمدونة في الجدول (2).

عند عقد المقارنة بين مصفوفة مؤثر طاقة البرم \hat{H}_{spin} (6x6) الجدول (1)، ومصفوفة مؤثر الطاقة الفعال \hat{H}_{eff} الجدول (2) إذ أن $\bar{J} = \bar{L}' + \bar{S}$ وباستخدام التشاكل $L' = 1, S = \frac{3}{2}, J = \frac{5}{2}$

(3) لنحصل على عناصر مصفوفة مؤثر طاقة البرم \hat{H}_{spin} (6x6) في حالة ($J = \frac{5}{2}$) ومصفوفة مؤثر الطاقة الفعال \hat{H}_{eff} (12x12) والمدونة في الجدول (4).

الجدول (1): عناصر مصفوفة \hat{H}_{spin}

| \hat{H}_{spin} | $ 5/2\rangle$ | $ 3/2\rangle$ | $ 1/2\rangle$ | $ -1/2\rangle$ | $ -3/2\rangle$ | $ -5/2\rangle$ |
|-------------------------|---|---|---|---|---|---|
| $ 5/2\rangle$ | $10D + 3A$ $+ \frac{5}{2}g_{\perp}\beta(B_x - iB_y)$ | $\frac{\sqrt{5}}{2}g_{\perp}\beta(B_x - iB_y)$ | $-i\sqrt{10}E$ | 0 | $3\sqrt{5}A$ | 0 |
| $ 3/2\rangle$ | $\frac{\sqrt{5}}{2}g_{\perp}\beta(B_x + iB_y)$ | $-2D - 9A$ $+ \frac{3}{2}g_{\perp}\beta(B_x + iB_y)$ | $\sqrt{2}g_{\perp}\beta(B_x - iB_y)$ | $-i3\sqrt{2}E$ | 0 | $3\sqrt{5}A$ |
| $ 1/2\rangle$ | $i\sqrt{10}E$ | $\sqrt{2}g_{\perp}\beta(B_x + iB_y)$ | $-8D + 6A$ $+ \frac{3}{2}g_{\perp}\beta(B_x + iB_y)$ | $\frac{3}{2}g_{\perp}\beta(B_x - iB_y)$ | $-i3\sqrt{2}E$ | 0 |
| $ -1/2\rangle$ | 0 | $i3\sqrt{2}E$ | $\frac{3}{2}g_{\perp}\beta(B_x + iB_y)$ | $-8D + 6A$ $- \frac{1}{2}g_{\perp}\beta(B_x - iB_y)$ | $\sqrt{2}g_{\perp}\beta(B_x - iB_y)$ | $-i\sqrt{10}E$ |
| $ -3/2\rangle$ | $3\sqrt{5}A$ | 0 | $i3\sqrt{2}E$ | $\sqrt{2}g_{\perp}\beta(B_x + iB_y)$ | $-2D - 9A$ $- \frac{3}{2}g_{\perp}\beta(B_x - iB_y)$ | $\frac{\sqrt{5}}{2}g_{\perp}\beta(B_x - iB_y)$ |
| $ -5/2\rangle$ | 0 | $3\sqrt{5}A$ | 0 | $i\sqrt{10}E$ | $\frac{\sqrt{5}}{2}g_{\perp}\beta(B_x + iB_y)$ | $10D + 3A$ $- \frac{5}{2}g_{\perp}\beta(B_x - iB_y)$ |

باحتساب آثر المصفوفة (Zero trace matrix) ($J = \frac{5}{2}$) (6x6) ، ومقارنتها مع الجدول (1) التي تمثل كل منها ثلاثة من مستويات كرامر المزدوجة الاولأ - (Three low-lying Kramers doublets) فإن معاملات مؤثر طاقة البرم ترتبط بمعاملات مؤثر الطاقة الفعال مباشرة بالعلاقات

$$\alpha = 30D, \beta = 10E, \lambda_C = \frac{20}{3}A \\ \dots(6)$$

ولما كانت قيم المعاملات تساوي (Rampton et al., 1986)

$$A = -0.66\text{GHz}, D = -0.29\text{GHz}, E = -0.96\text{GHz}, g = 1.60 \\ \dots(7)$$

فإن مستويات الطاقة وكما حصلنا عليها باستخدام النموذج في هذا العمل الجدول (1) وباستعمال قيم المعاملات المدونة في المعادلة (7) موضحة في الشكل (2) ، مقارنة بما حصل عليه Rampton 1986 .

الجدول 2 (الجزء الأول) : مصفوفة \hat{H}_{eff} (12x12)

| \hat{H}_{eff} | $ 1,3/2\rangle$ | $ 1,1/2\rangle$ | $ 1,-1/2\rangle$ | $ 1,-3/2\rangle$ | $ 0,3/2\rangle$ | $ 0,1/2\rangle$ |
|------------------------|---|--|---|---|--|--|
| $ 1,3/2\rangle$ | $\frac{3a}{2} + \frac{9\lambda b}{4}$ + $\frac{3\lambda c}{4} + \alpha$ + $\frac{3}{2}g_{\parallel}\beta B_z$ | $\frac{\sqrt{3}}{2}g_{\perp}\beta(B_x - iB_y)$ | 0 | 0 | 0 | 0 |
| $ 1,1/2\rangle$ | $\frac{\sqrt{3}}{2}g_{\perp}\beta(B_x + iB_y)$ | $\frac{a}{2} + \frac{7\lambda b}{4}$ - $\frac{3\lambda c}{4} + \alpha$ + $\frac{1}{2}g_{\parallel}\beta B_z$ | $g_{\perp}\beta(B_x - iB_y)$ | 0 | $\sqrt{\frac{3}{2}}a + \frac{1}{2}\lambda b$ | 0 |
| $ 1,-1/2\rangle$ | 0 | $g_{\perp}\beta(B_x + iB_y)$ | $-\frac{a}{2} + \frac{9\lambda b}{4}$ - $\frac{3\lambda c}{4} + \alpha$ - $\frac{1}{2}g_{\parallel}\beta B_z$ | $\frac{\sqrt{3}}{2}g_{\perp}\beta(B_x - iB_y)$ | 0 | $\sqrt{2}a - \frac{1}{\sqrt{2}}\lambda b$ |
| $ 1,-3/2\rangle$ | 0 | 0 | $\frac{\sqrt{3}}{2}g_{\perp}\beta(B_x + iB_y)$ | $-\frac{3a}{2} + \frac{15\lambda b}{4}$ + $\frac{3\lambda c}{4} + \alpha$ - $\frac{3}{2}g_{\parallel}\beta B_z$ | 0 | 0 |
| $ 0,3/2\rangle$ | 0 | $\sqrt{\frac{3}{2}}a + \frac{1}{2}\sqrt{\frac{3}{2}}\lambda b$ | 0 | 0 | $\frac{3\lambda b}{2} - \frac{3\lambda b}{2}$ + $\frac{3}{2}g_{\parallel}\beta B_z$ | $\frac{\sqrt{3}}{2}g_{\perp}\beta(B_x - iB_y)$ |
| $ 0,1/2\rangle$ | 0 | 0 | $\sqrt{2}a - \frac{1}{\sqrt{2}}\lambda b$ | 0 | $\frac{\sqrt{3}}{2}g_{\perp}\beta(B_x + iB_y)$ | $\frac{7\lambda b}{2} + \frac{3\lambda c}{2}$ + $\frac{1}{2}g_{\parallel}\beta B_z$ |
| $ 0,-1/2\rangle$ | 0 | 0 | 0 | $\sqrt{\frac{3}{2}}a - \frac{3}{2}\sqrt{\frac{3}{2}}\lambda b$ | 0 | $g_{\perp}\beta(B_x + iB_y)$ |
| $ 0,-3/2\rangle$ | 0 | 0 | 0 | 0 | 0 | 0 |
| $ -1,3/2\rangle$ | $i\beta$ | 0 | $\sqrt{3}\lambda b + \frac{3\sqrt{3}}{4}\lambda c$ | 0 | 0 | $\sqrt{\frac{3}{2}}a - \frac{3}{2}\sqrt{\frac{3}{2}}\lambda b$ |
| $ -1,1/2\rangle$ | 0 | $i\beta$ | 0 | $\sqrt{3}\lambda b + \frac{3\sqrt{3}}{4}\lambda c$ | 0 | 0 |
| $ -1,-1/2\rangle$ | $\frac{3\sqrt{3}}{4}\lambda c$ | 0 | $i\beta$ | 0 | 0 | 0 |
| $ -1,-3/2\rangle$ | 0 | $\frac{3\sqrt{3}}{4}\lambda c$ | 0 | $i\beta$ | 0 | 0 |

الجدول 2 (الجزء الثاني): مصفوفة \mathcal{H}_{eff} (12x12)

| $ 0,-1/2\rangle$ | $ 0,-3/2\rangle$ | $ -1,3/2\rangle$ | $ -1,1/2\rangle$ | $ -1,-1/2\rangle$ | $ -1,-3/2\rangle$ |
|--|--|---|---|--|---|
| 0 | 0 | $-i\beta$ | 0 | $\frac{3\sqrt{3}}{4}\lambda c$ | 0 |
| 0 | 0 | 0 | $-i\beta$ | 0 | $\frac{3\sqrt{3}}{4}\lambda c$ |
| 0 | 0 | $\sqrt{3}\lambda b + \frac{3\sqrt{3}}{4}\lambda c$ | 0 | $-i\beta$ | 0 |
| $\sqrt{\frac{3}{2}}a - \frac{3}{2}\sqrt{\frac{3}{2}}\lambda b$ | 0 | 0 | $\sqrt{3}\lambda b + \frac{3\sqrt{3}}{4}\lambda c$ | 0 | $-i\beta$ |
| 0 | 0 | 0 | 0 | 0 | 0 |
| $g_{\perp}\beta(B_x - iB_y)$ | 0 | $\sqrt{\frac{3}{2}}a - \frac{3}{2}\sqrt{\frac{3}{2}}\lambda b$ | 0 | 0 | 0 |
| $\frac{7\lambda b}{2} + \frac{3\lambda c}{2}$ - $\frac{1}{2}g_{\parallel}\beta B_z$ | $\frac{\sqrt{3}}{2}g_{\perp}\beta(B_x - iB_y)$ | 0 | $\sqrt{2}a - \frac{1}{\sqrt{2}}\lambda b$ | 0 | 0 |
| $\frac{\sqrt{3}}{2}g_{\perp}\beta(B_x + iB_y)$ | $\frac{3\lambda b}{2} - \frac{3\lambda c}{2}$ - $\frac{3}{2}g_{\parallel}\beta B_z$ | 0 | 0 | $\sqrt{\frac{3}{2}}a + \frac{1}{2}\sqrt{\frac{3}{2}}\lambda b$ | 0 |
| 0 | 0 | $-\frac{3a}{2} + \frac{15\lambda b}{4}$ + $\frac{3\lambda c}{4} + \alpha$ + $\frac{3}{2}g_{\parallel}\beta B_z$ | $\frac{\sqrt{3}}{2}g_{\perp}\beta(B_x - iB_y)$ | 0 | 0 |
| $\sqrt{2}a - \frac{1}{\sqrt{2}}\lambda b$ | 0 | $\frac{\sqrt{3}}{2}g_{\perp}\beta(B_x - iB_y)$ | $-\frac{a}{2} + \frac{9\lambda b}{4}$ - $\frac{3\lambda c}{4} + \alpha$ + $\frac{1}{2}g_{\parallel}\beta B_z$ | $g_{\perp}\beta(B_x - iB_y)$ | 0 |
| 0 | $\sqrt{\frac{3}{2}}a + \frac{1}{2}\sqrt{\frac{3}{2}}\lambda b$ | 0 | $g_{\perp}\beta(B_x + iB_y)$ | $\frac{a}{2} + \frac{7\lambda b}{4}$ - $\frac{3\lambda c}{4} + \alpha$ - $\frac{1}{2}g_{\parallel}\beta B_z$ | $\frac{\sqrt{3}}{2}g_{\perp}\beta(B_x - iB_y)$ |
| 0 | 0 | 0 | 0 | $\frac{\sqrt{3}}{2}g_{\perp}\beta(B_x + iB_y)$ | $\frac{3a}{2} + \frac{9\lambda b}{4}$ + $\frac{3\lambda c}{4} + \alpha$ - $\frac{3}{2}g_{\parallel}\beta B_z$ |

الجدول 3 : العلاقات بين $|m_I, m_S\rangle$ & $|J, M_J\rangle$ بالنسبة إلى $J = \frac{5}{2}$

(Bates et al., 1971) $S = \frac{3}{2}, L' = 1$ إذ أن

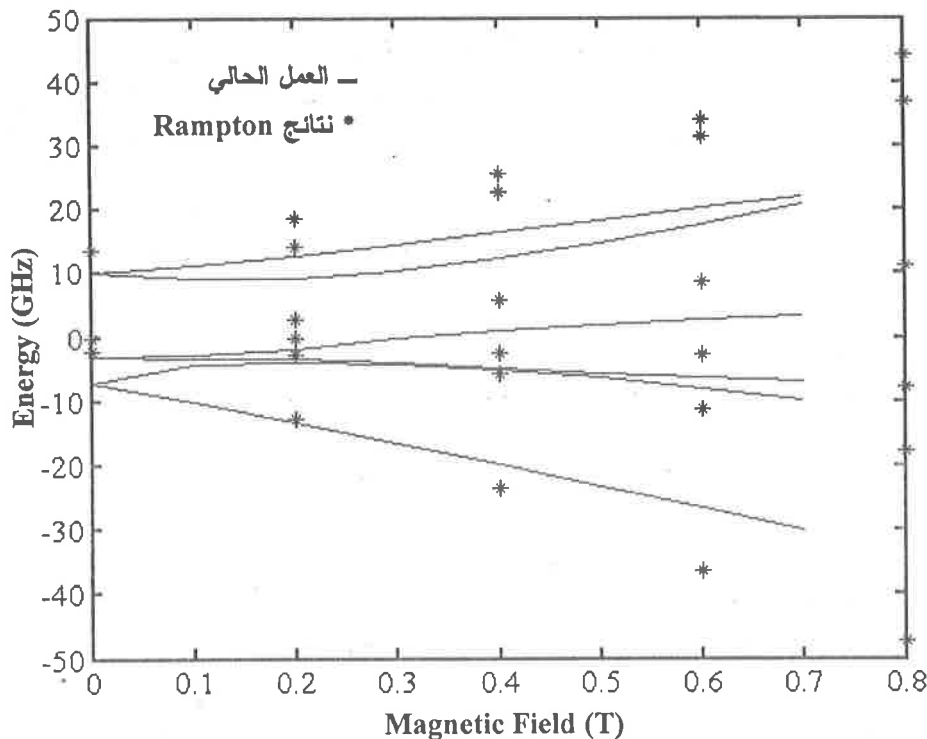
| $J = \frac{5}{2}$ |
|--|
| $ \frac{5}{2}, \frac{5}{2}\rangle = 1, \frac{3}{2}\rangle$ |
| $ \frac{5}{2}, \frac{3}{2}\rangle = \sqrt{\frac{2}{5}} 0, \frac{3}{2}\rangle + \sqrt{\frac{3}{5}} 1, \frac{1}{2}\rangle$ |
| $ \frac{5}{2}, \frac{1}{2}\rangle = \sqrt{\frac{1}{10}} -1, \frac{3}{2}\rangle + \sqrt{\frac{3}{5}} 0, \frac{1}{2}\rangle + \sqrt{\frac{3}{10}} 1, -\frac{1}{2}\rangle$ |
| $ \frac{5}{2}, -\frac{1}{2}\rangle = \sqrt{\frac{3}{10}} -1, \frac{1}{2}\rangle + \sqrt{\frac{3}{5}} 0, -\frac{1}{2}\rangle + \sqrt{\frac{1}{10}} 1, -\frac{3}{2}\rangle$ |
| $ \frac{5}{2}, -\frac{3}{2}\rangle = \sqrt{\frac{3}{5}} -1, -\frac{1}{2}\rangle + \sqrt{\frac{2}{5}} 0, -\frac{3}{2}\rangle$ |
| $ \frac{5}{2}, -\frac{5}{2}\rangle = -1, -\frac{3}{2}\rangle$ |
| $J = \frac{3}{2}$ |
| $ \frac{3}{2}, \frac{3}{2}\rangle = \sqrt{\frac{3}{5}} 0, \frac{3}{2}\rangle - \sqrt{\frac{2}{5}} 1, \frac{1}{2}\rangle$ |
| $ \frac{3}{2}, \frac{1}{2}\rangle = \sqrt{\frac{2}{5}} -1, \frac{3}{2}\rangle + \sqrt{\frac{1}{15}} 0, \frac{1}{2}\rangle - 2\sqrt{\frac{2}{15}} 1, -\frac{1}{2}\rangle$ |
| $ \frac{3}{2}, -\frac{1}{2}\rangle = -2\sqrt{\frac{2}{15}} -1, \frac{1}{2}\rangle + \sqrt{\frac{1}{15}} 0, -\frac{1}{2}\rangle + \sqrt{\frac{2}{5}} 1, -\frac{3}{2}\rangle$ |
| $ \frac{3}{2}, -\frac{3}{2}\rangle = -\sqrt{\frac{2}{5}} -1, -\frac{1}{2}\rangle + \sqrt{\frac{3}{5}} 0, -\frac{3}{2}\rangle$ |
| $J = \frac{1}{2}$ |
| $ \frac{1}{2}, \frac{1}{2}\rangle = \sqrt{\frac{1}{2}} -1, \frac{3}{2}\rangle - \sqrt{\frac{1}{3}} 0, \frac{1}{2}\rangle + \sqrt{\frac{1}{6}} 1, -\frac{1}{2}\rangle$ |
| $ \frac{1}{2}, -\frac{1}{2}\rangle = \sqrt{\frac{1}{6}} -1, \frac{1}{2}\rangle - \sqrt{\frac{1}{3}} 0, -\frac{1}{2}\rangle + \sqrt{\frac{1}{2}} 1, -\frac{3}{2}\rangle$ |

الجدول 4 (الجزء الأول): مصفوفة (12×12) $J = \frac{5}{2}$

| \mathcal{H}_{eff} | $ 5/2,5/2\rangle$ | $ 5/2,3/2\rangle$ | $ 5/2,1/2\rangle$ | $ 5/2,-1/2\rangle$ | $ 5/2,-3/2\rangle$ | $ 5/2,-5/2\rangle$ |
|----------------------------|---|--|--|--|--|---|
| $ 5/2,5/2\rangle$ | $\frac{3a}{2} + \frac{9\lambda b}{4} + \frac{3\lambda c}{4} + \alpha$ | 0 | $-i\frac{1}{\sqrt{10}}\beta$ | 0 | $\frac{9}{4\sqrt{5}}\lambda c$ | 0 |
| $ 5/2,3/2\rangle$ | 0 | $\frac{3a}{2} + \frac{9\lambda b}{4} - \frac{21\lambda c}{20} + \frac{3\alpha}{5}$ | 0 | $-i\frac{3}{5\sqrt{2}}\beta$ | 0 | $\frac{9}{4\sqrt{5}}\lambda c$ |
| $ 5/2,1/2\rangle$ | $i\frac{1}{\sqrt{10}}\beta$ | 0 | $\frac{3a}{2} + \frac{9\lambda b}{4} + \frac{6\lambda c}{5} + \frac{2\alpha}{5}$ | 0 | $-i\frac{3}{5\sqrt{2}}\beta$ | 0 |
| $ 5/2,-1/2\rangle$ | 0 | $i\frac{3}{5\sqrt{2}}\beta$ | 0 | $\frac{3a}{2} + \frac{9\lambda b}{4} + \frac{6\lambda c}{5} + \frac{2\alpha}{5}$ | 0 | $-i\frac{1}{\sqrt{10}}\beta$ |
| $ 5/2,-3/2\rangle$ | $\frac{9}{4\sqrt{5}}\lambda c$ | 0 | $i\frac{3}{5\sqrt{2}}\beta$ | 0 | $\frac{3a}{2} + \frac{9\lambda b}{4} - \frac{21\lambda c}{20} + \frac{3\alpha}{5}$ | 0 |
| $ 5/2,-5/2\rangle$ | 0 | $\frac{9}{4\sqrt{5}}\lambda c$ | 0 | $i\frac{1}{\sqrt{10}}\beta$ | 0 | $\frac{3a}{2} + \frac{9\lambda b}{4} + \frac{3\lambda c}{4} + \alpha$ |
| $ 3/2,3/2\rangle$ | 0 | $-\frac{3}{10}\sqrt{\frac{3}{2}}\lambda c - \frac{\sqrt{6}}{5}\alpha$ | 0 | $i\frac{\sqrt{3}}{5}\beta$ | 0 | $-\frac{3}{4}\sqrt{\frac{6}{5}}\lambda c$ |
| $ 3/2,1/2\rangle$ | $i\sqrt{\frac{2}{5}}\beta$ | 0 | $\frac{9}{10}\lambda c - \frac{\alpha}{5}$ | 0 | $i\frac{2\sqrt{2}}{5}\beta$ | 0 |
| $ 3/2,-1/2\rangle$ | 0 | $-i\frac{2\sqrt{2}}{5}\beta$ | 0 | $\frac{9}{10}\lambda c - \frac{\alpha}{5}$ | 0 | $-i\sqrt{\frac{2}{5}}\beta$ |
| $ 3/2,-3/2\rangle$ | $-\frac{3}{4}\sqrt{\frac{6}{5}}\lambda c$ | 0 | $-i\frac{\sqrt{3}}{5}\beta$ | 0 | $-\frac{3}{10}\sqrt{\frac{3}{2}}\lambda c - \frac{\sqrt{6}}{5}\alpha$ | 0 |
| $ 1/2,1/2\rangle$ | $i\frac{1}{\sqrt{2}}\beta$ | 0 | $\frac{\alpha}{\sqrt{5}}$ | 0 | $-i\frac{1}{\sqrt{10}}\beta$ | 0 |
| $ 1/2,-1/2\rangle$ | 0 | $i\frac{1}{\sqrt{10}}\beta$ | 0 | $\frac{\alpha}{\sqrt{5}}$ | 0 | $-i\frac{1}{\sqrt{2}}\beta$ |

الجدول 4 (الجزء الثاني): مصفوفة $J = \frac{5}{2}$ (12x12)

| $ 3/2,3/2\rangle$ | $ 3/2,1/2\rangle$ | $ 3/2,-1/2\rangle$ | $ 3/2,-3/2\rangle$ | $ 1/2,1/2\rangle$ | $ 1/2,-1/2\rangle$ |
|---|---|--|---|--|--|
| 0 | $-i\sqrt{\frac{2}{5}}\beta$ | 0 | $-\frac{3}{4}\sqrt{\frac{6}{5}}\lambda c$ | $-i\frac{1}{\sqrt{2}}\beta$ | 0 |
| $-\frac{3}{10}\sqrt{\frac{3}{2}}\lambda c$ $-\frac{\sqrt{6}}{5}\alpha$ | 0 | $i\frac{2\sqrt{2}}{5}\beta$ | 0 | 0 | $-i\frac{1}{\sqrt{10}}\beta$ |
| 0 | $\frac{9}{10}\lambda c - \frac{\alpha}{5}$ | 0 | $i\frac{\sqrt{3}}{5}\beta$ | $\frac{\alpha}{\sqrt{5}}$ | 0 |
| $-i\frac{\sqrt{3}}{5}\beta$ | 0 | $\frac{9}{10}\lambda c - \frac{\alpha}{5}$ | 0 | 0 | $\frac{\alpha}{\sqrt{5}}$ |
| 0 | $-i\frac{2\sqrt{2}}{5}\beta$ | 0 | $-\frac{3}{10}\sqrt{\frac{3}{2}}\lambda c$ $-\frac{\sqrt{6}}{5}\alpha$ | $i\frac{1}{\sqrt{10}}\beta$ | 0 |
| $-\frac{3}{4}\sqrt{\frac{6}{5}}\lambda c$ | 0 | $i\sqrt{\frac{2}{5}}\beta$ | 0 | 0 | $i\frac{1}{\sqrt{2}}\beta$ |
| $-a + \lambda b -$ $\frac{6\lambda c}{5} + \frac{2\alpha}{5}$ | 0 | $-i\frac{4}{5\sqrt{3}}\beta$ | 0 | 0 | $i\frac{1}{\sqrt{15}}\beta$ |
| 0 | $-a + \lambda b -$ $\frac{6\lambda c}{5} + \frac{2\alpha}{15}$ | 0 | $-i\frac{4}{5\sqrt{3}}\beta$ | $\frac{\alpha}{3\sqrt{5}}$ | 0 |
| $i\frac{4}{5\sqrt{3}}\beta$ | 0 | $\frac{6\lambda c}{5} + \frac{14\alpha}{15}$ | 0 | 0 | $\frac{\alpha}{3\sqrt{5}}$ |
| 0 | $i\frac{4}{5\sqrt{3}}\beta$ | 0 | $-a + \lambda b -$ $\frac{6\lambda c}{5} + \frac{14\alpha}{5}$ | $-i\frac{1}{\sqrt{15}}\beta$ | 0 |
| 0 | $\frac{\alpha}{3\sqrt{5}}$ | 0 | $i\frac{1}{\sqrt{15}}\beta$ | $-\frac{5a}{2} + \frac{25\lambda b}{4}$ $+\frac{3\lambda c}{2} + \frac{2\alpha}{3}$ | 0 |
| $-i\frac{1}{\sqrt{15}}\beta$ | 0 | $\frac{\alpha}{3\sqrt{5}}$ | 0 | 0 | $-\frac{5a}{2} + \frac{25\lambda b}{4}$ $+\frac{3\lambda c}{2} + \frac{2\alpha}{3}$ |



الشكل 2: مخطط مستويات الطاقة باستخدام معادلة (5) $B//[001]$

4. المناقشة والاستنتاجات Discussion and Conclusions

باستخدام نموذج المطاوعة متعددة المحاور على العينة GaAs:V^{2+} احتسبت عناصر مصفوفة مؤثر طاقة البرم $\mathcal{H}_{\text{spin}}$ الذي أشتمل على حدود المرتبة الرابعة للمطاوعة متعددة المحاور . مع الأخذ بنظر الاعتبار أن تأثيرات جان - تيلر ليست من النمط $T \otimes (e + t_2)$ فحسب وإنما يمكن الافتراض أن تأثيرات جان - تيلر تأخذ تأثيرات الطاقة من النمط $(T \otimes e)$ وان إزاحة الايون V^{2+} يتاثر بكل النمطين الاهتزازيين $(t_2 \& e)$ مما يجعل النسبة $\frac{D}{E}$ ليست محددة . وهذا ما أوجد التفاوت بين نتائج نموذج هذا العمل ونموذج Rampton .

إن الحصول على نتائج تجريبية للعينة GaAs:V^{2+} يتيح إمكان ضبط معاملات النموذج المستخدم في هذا العمل وتحديد مقدار معامل التحويل . فضلاً عما أثاره (Ropka and Radwanski, 1999) من أن نظرية جان- تيلر قد تناولت حتى الآن ، تأثير الاوربيتالات حسب الأنماط الاهتزازية في حين ترى دراسة (Ropka and Radwanski, 1999) إمكان احتساب تأثير البرم فضلاً عن الاوربيتالات بتأثيرات جان - تيلر .

وإذا كانت الدراسات الحديثة (Levinshtein et al. , 2001) تشير إلى مركبات شبه موصلة أكثر تطوراً من مركبات III-V تلك هي مركبات SiC , InN , GaN "على سبيل المثال" والتي لها

استخدامات فيما صار يعرف نانو الكترونكس . فإن الجهد النظري لصياغة مؤثرات الطاقة ومؤثرات البرم ودراسة الفيزياء النظرية لهذه المركبات يشكل تواصلاً لهذا الجهد.

5. المصادر References

- Abragam A. and Pryce M.H.L., Theory of the Nuclear Hyperfine Structure of Paramagnetic Resonance Spectra in Crystals , *Proc. Roy. Soc. A*, 205, 135 (1951).
- Adachi S., Physical Properties of III-V Semiconductor Compounds , John Wiley & Sons , Inc., New York1 (1992).
- AL-Sheikh A.M., Theoretical Model for Vanadium Doped Gallium Arsenide, *Rar. J. Sc.* , Vol.16 , Phys. Special issue , No. 1 (2005).
- Badran R.I.,A Theoretical Study for the Excited 3T_2 Vibronic State of the V^{3+} Ion in GaP:V:S Under Uniaxial Stresses, *Mu' tah Journal For Research and Studies* Vol.12, No. 3 (1997) .
- Bates C.A., Chandler P.E. and Stevens K.W., Isomorphism and the Spin- Phonon Interaction for ($3d^n$) Ions , *J. Phys. C: Solid State Physics*, Vol.4, 2017-2023 (1971) .
- Chen J.J. and Du M.L., Z.,Theoretical Investigation of the Optical Spectrum and the Gyromagnetic g Factor of CdS: V^{3+} , *Z. Naturforsch. 57a*, 745–748 (2002) .
- Hall G.G., Applied Group Theory , Longman Group Limited , London (1971) .
- Howald R. A., Calculation of Tanabe-Sugano Diagrams by Matrix Diagonalization , *Chem. Educator* , 6 ,78-85 (2001) .
- Katayama-Yoshida and Zunger A. , Prediction of a Low-Spin Ground State in the GaAs: V^{2+} Impurity System , *Phys. Rev. B*, 33, 2961-4 (1986)
- Kayali S., GaAs Material Properties, Web Sit www.jpl.nasa.gov/mmic/3-1.PDF (2004) .
- Kutt W., Bimberg D., Maier M., Krautle H., Kohl F. and Bauser E., Heat Treatment Induced Redistribution of Vanaduim in Semi-insulating GaAs:V , *Appl. Phys. Lett.* 44 , 1078-80 (1984) .
- Levinstein M.E.,Rumyantsev S.L. and Shur M.S., Properties of Advanced Semiconductor Materials GaN, AlN, InN, BN, SiC, SiGe, John Wiley & Sons , Inc., New York (2001) .
- Rampton V.W., Saker M.K. and Ulrici W. , Acoustic Paramagnetic Resonance of Vanadium in Semi-insulating GaAs , *J.Phys. C: Solid State Physics*, 19 , 1037-1043 (1986) .
- Ropka Z. and Radwanski R.J., The Jahn-Teller theorem for the 3d magnetic ion, *Phys. Rev. Lett.* : 16.02 . Web Sit www.arXiv:cond-mat/0006231 V1 14 Jun 2000 (1999) .
- Web Sit, www.luc.edu/faculty/spavko1/c340/lect/Lect-13 PDF (2004) .